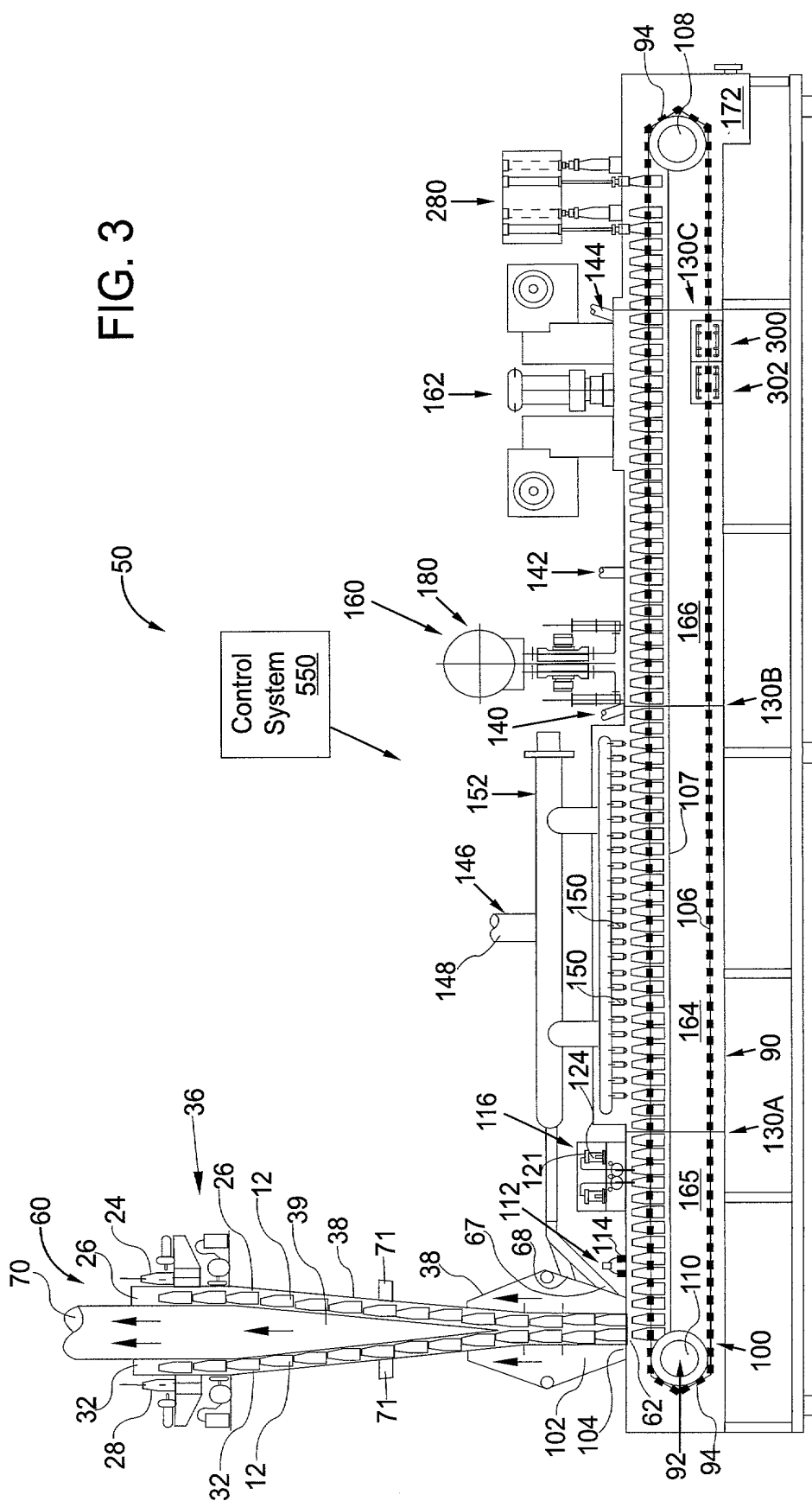


FIG. 2

FIG. 3



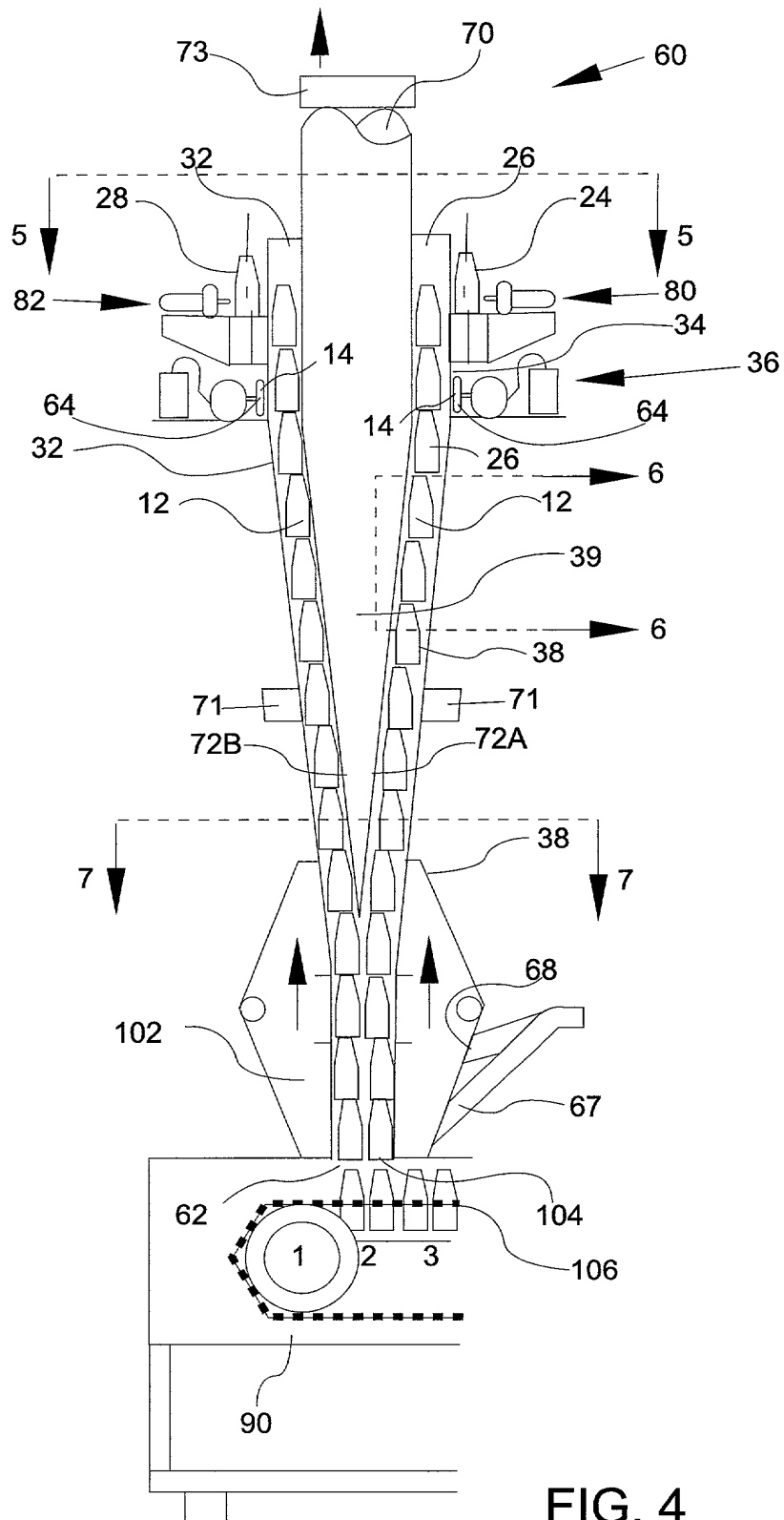
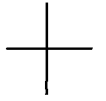


FIG. 4







FIG. 8

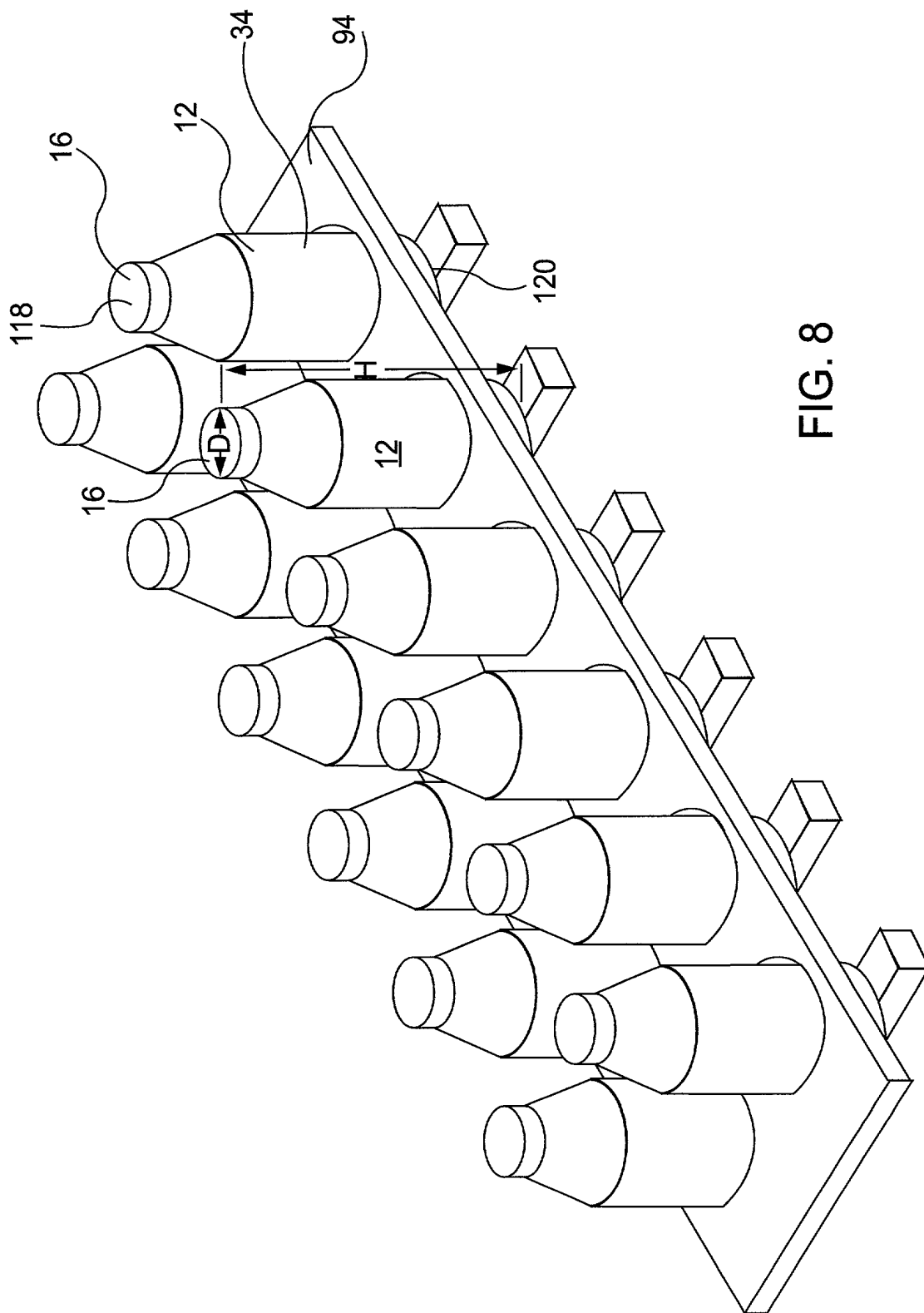


FIG. 8



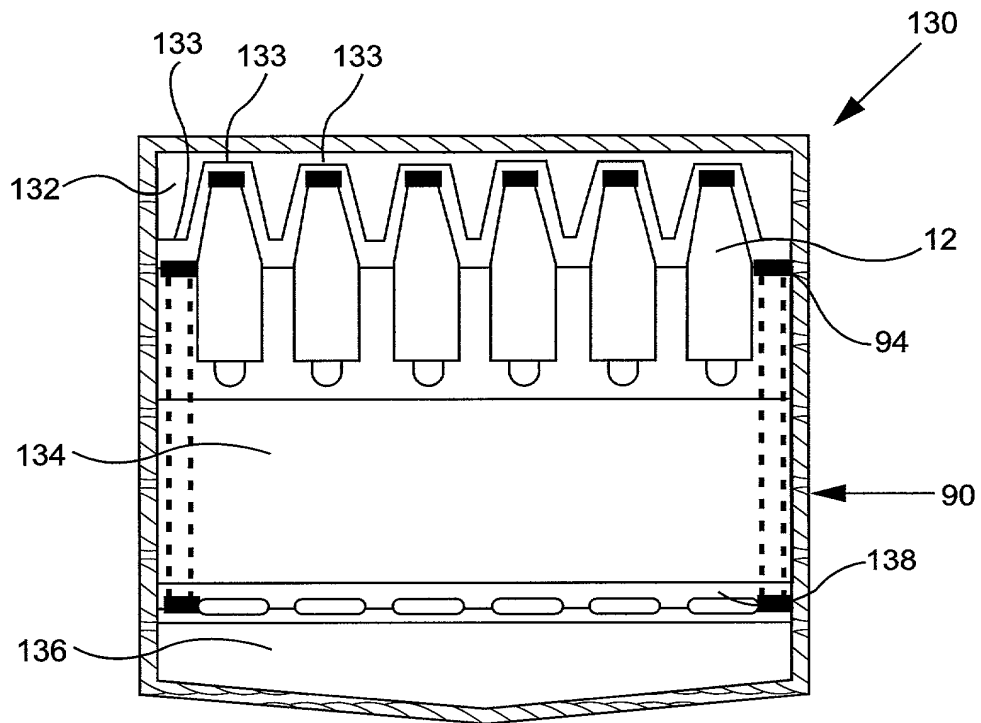


FIG. 9

T02T29 369T3'60



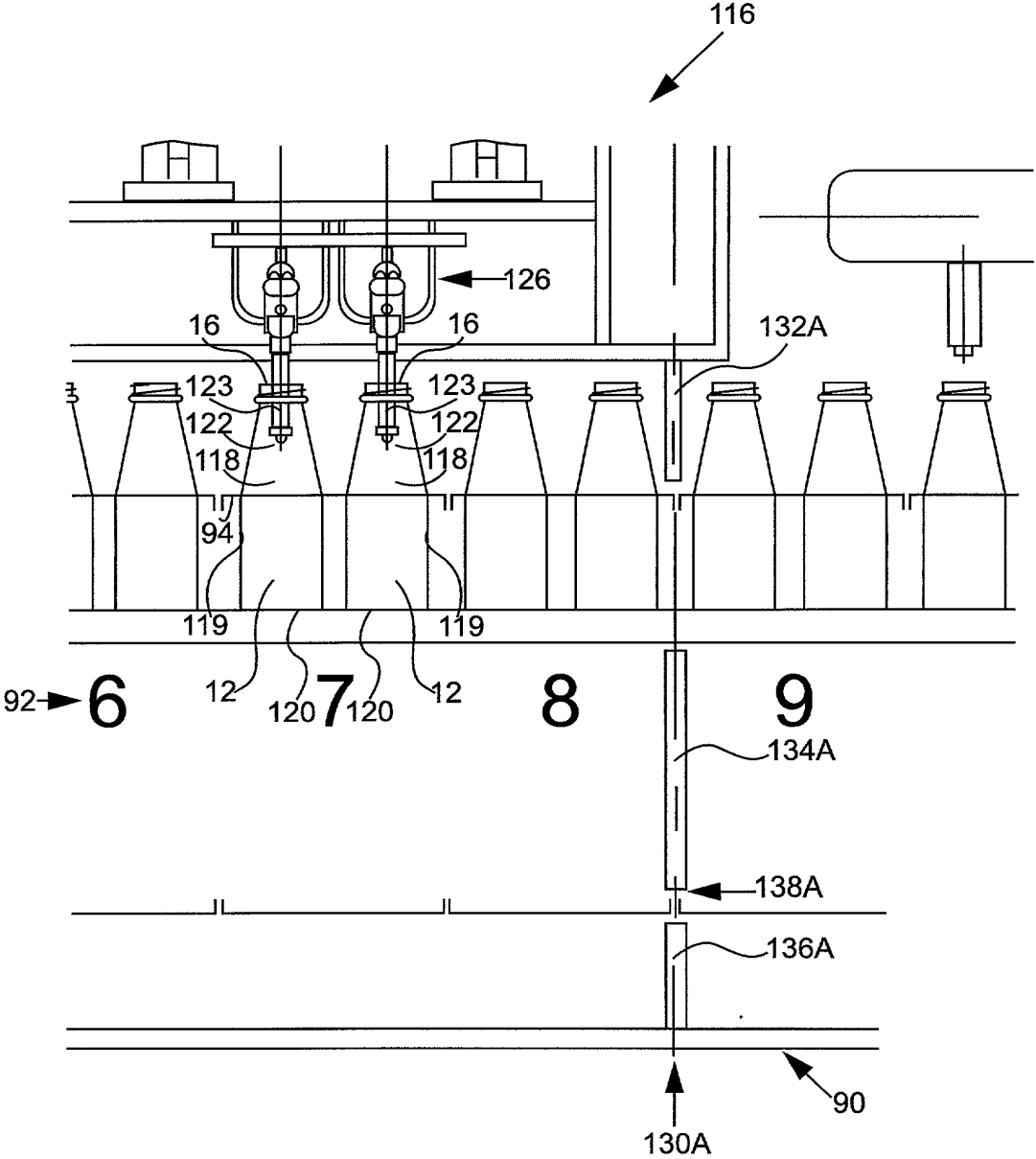


FIG. 10





FIG. 11



FIG. 12

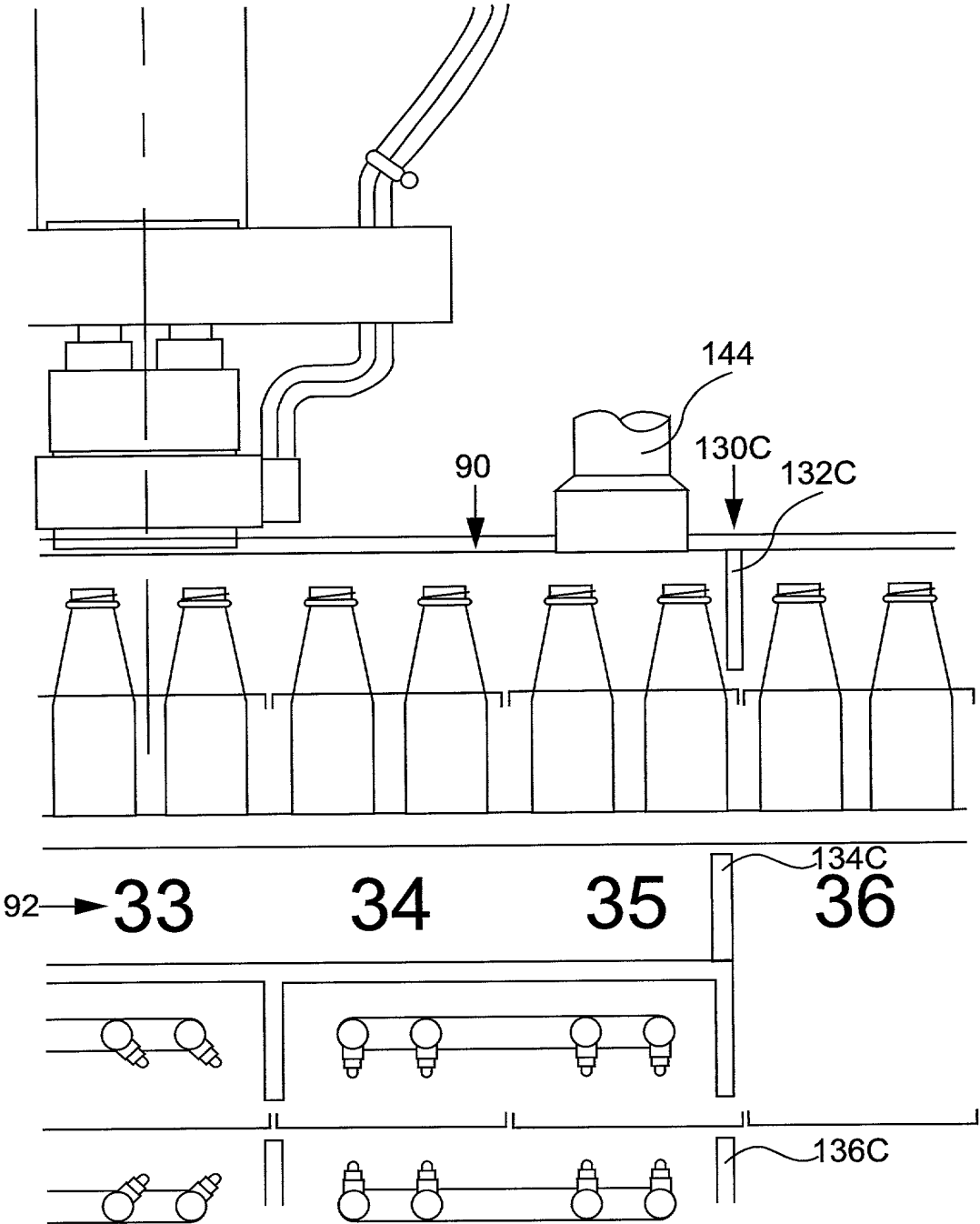


FIG. 12





FIG. 13

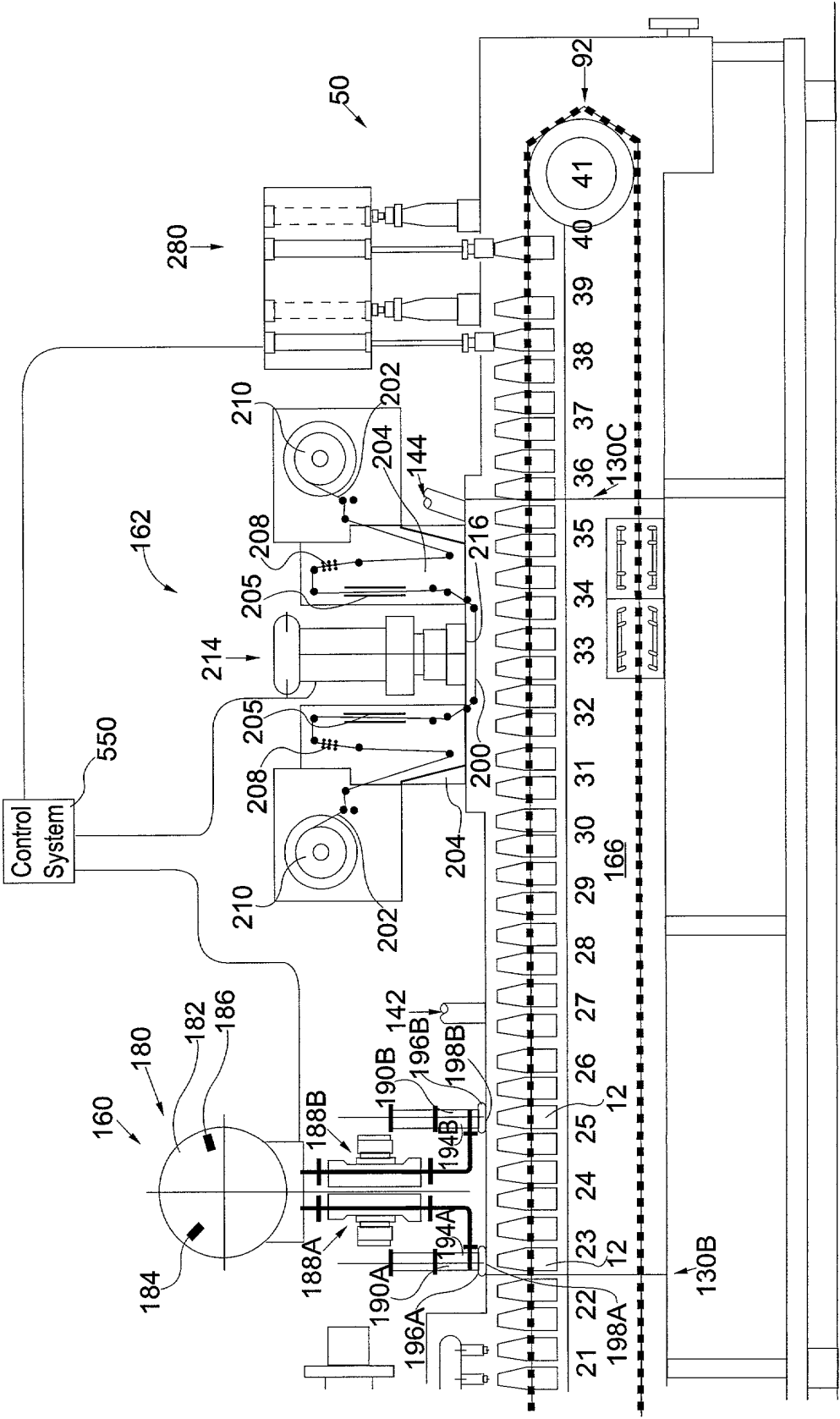


FIG. 13



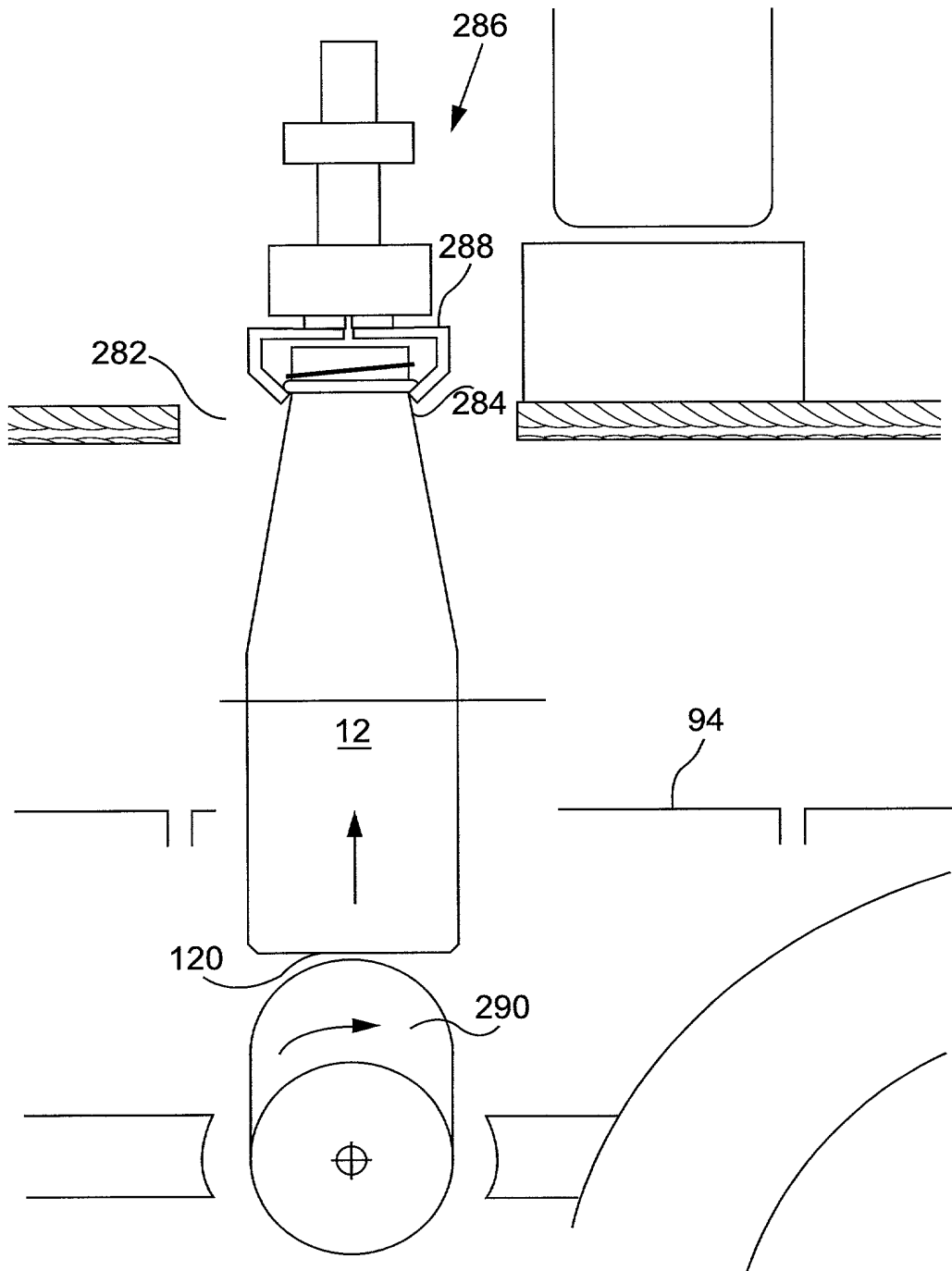
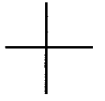


FIG. 14



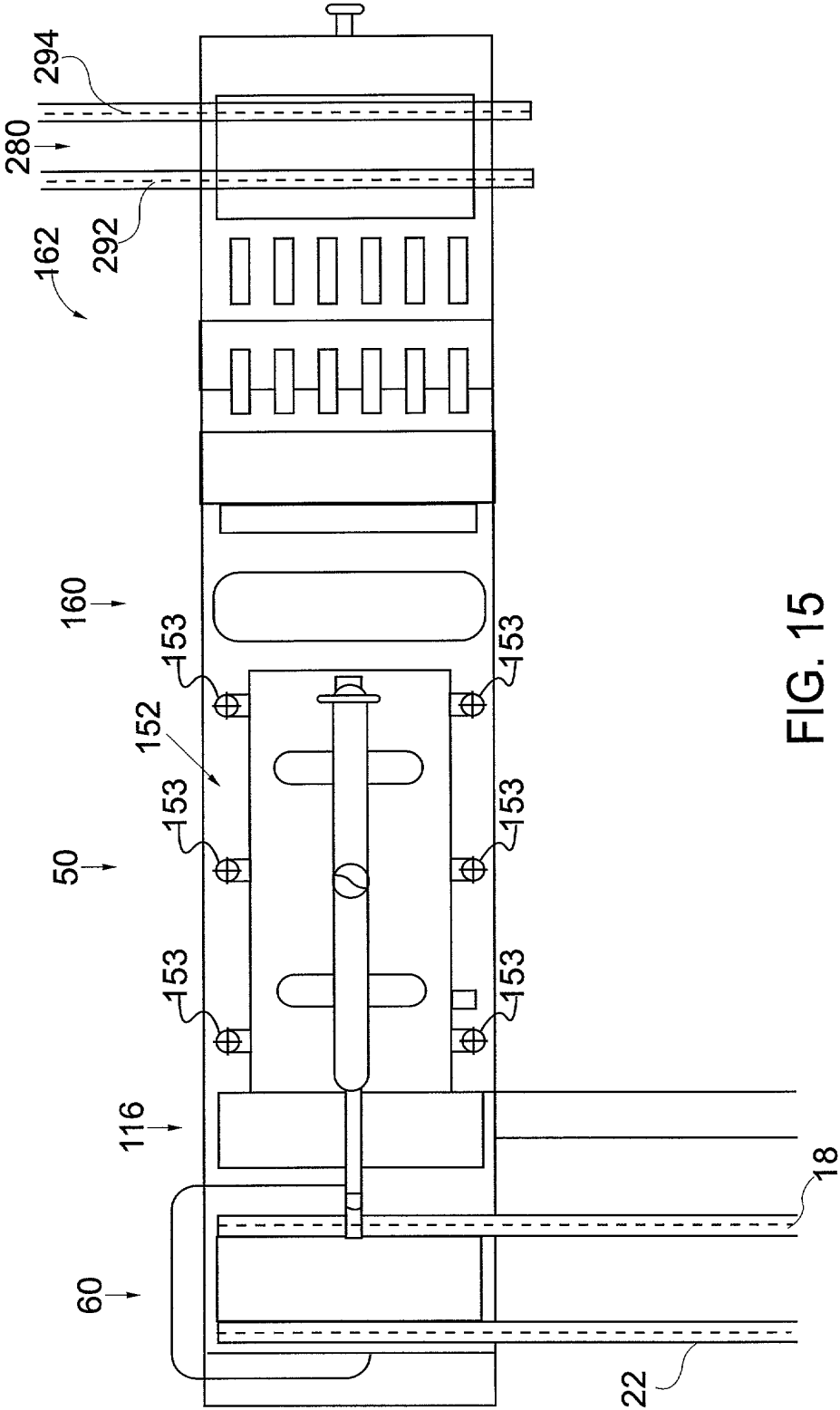


FIG. 15

FIG. 15



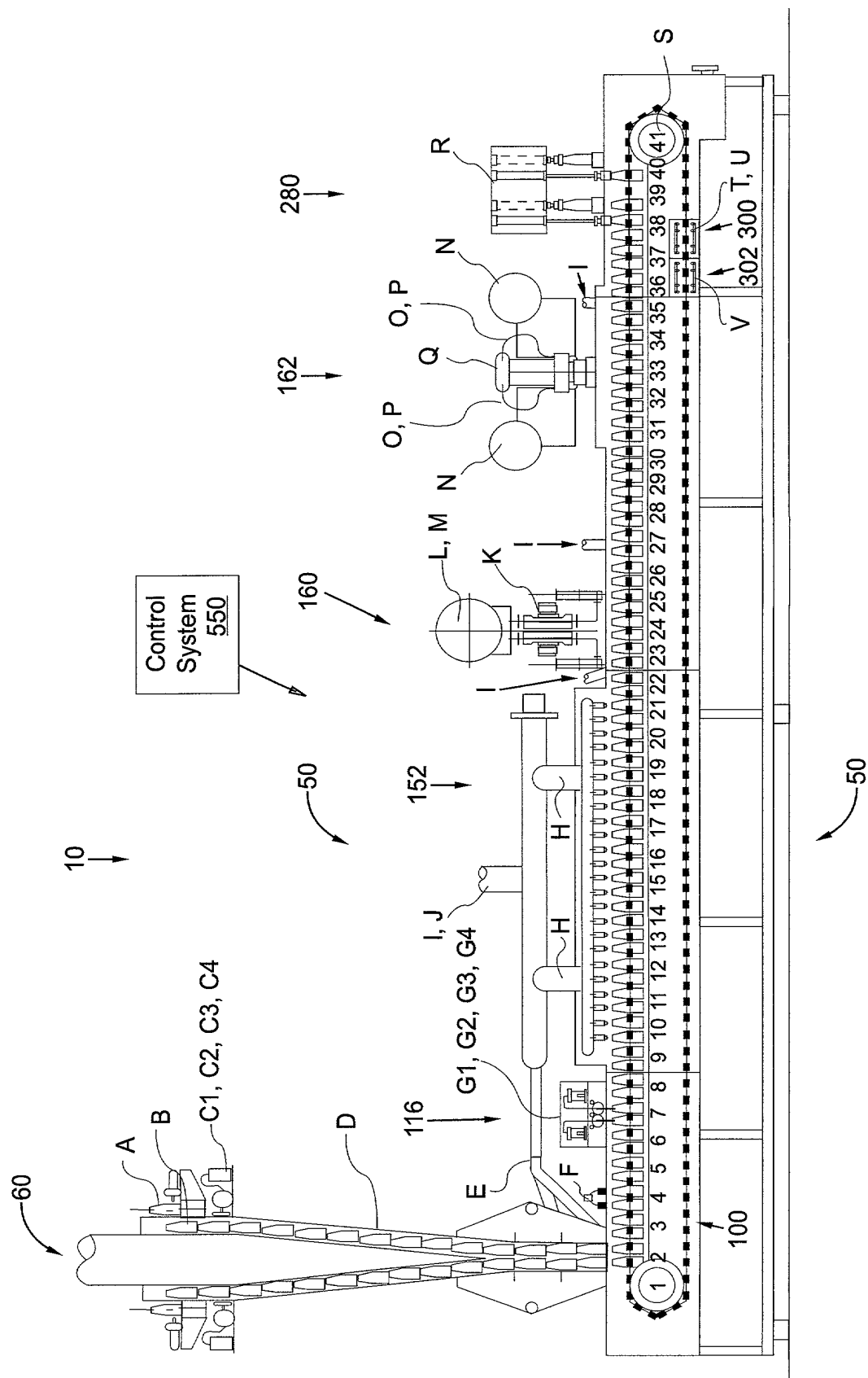


FIG. 16

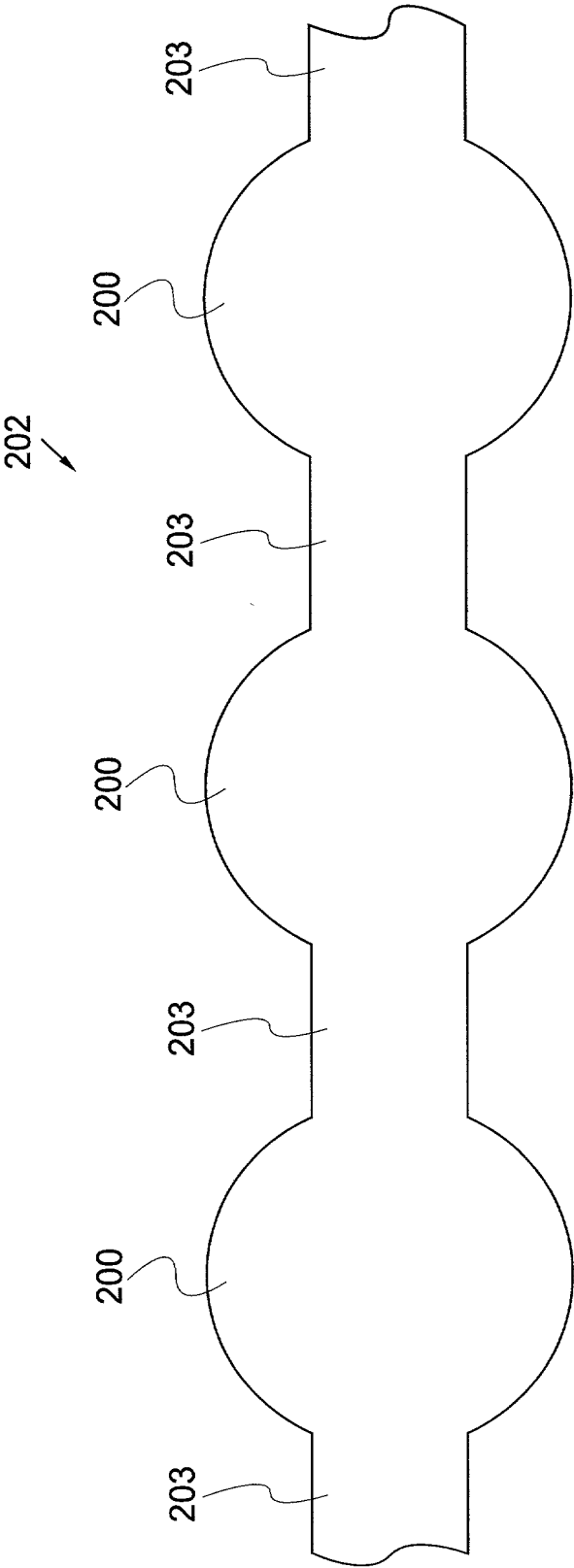


FIG. 17



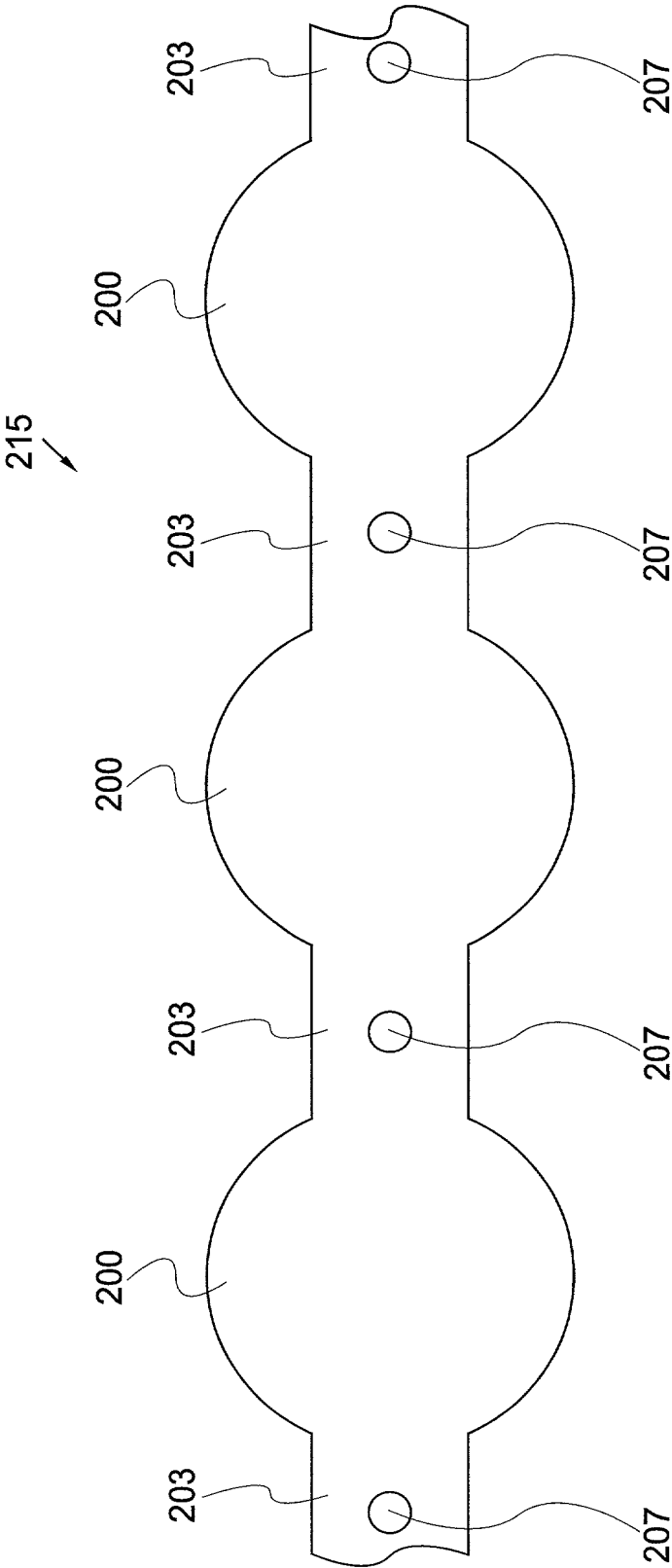


FIG. 18

FIG. 18





FIG. 19

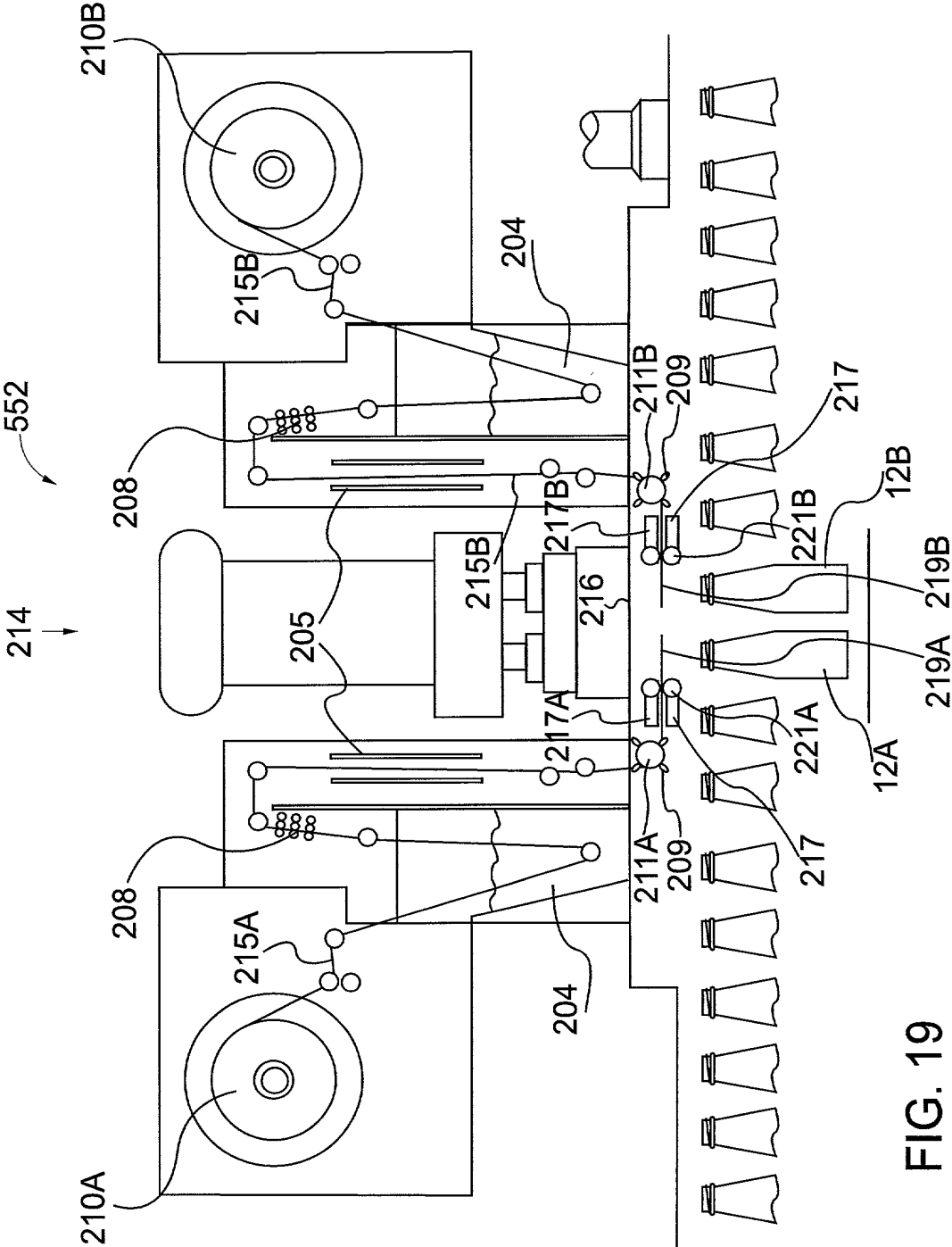


FIG. 19



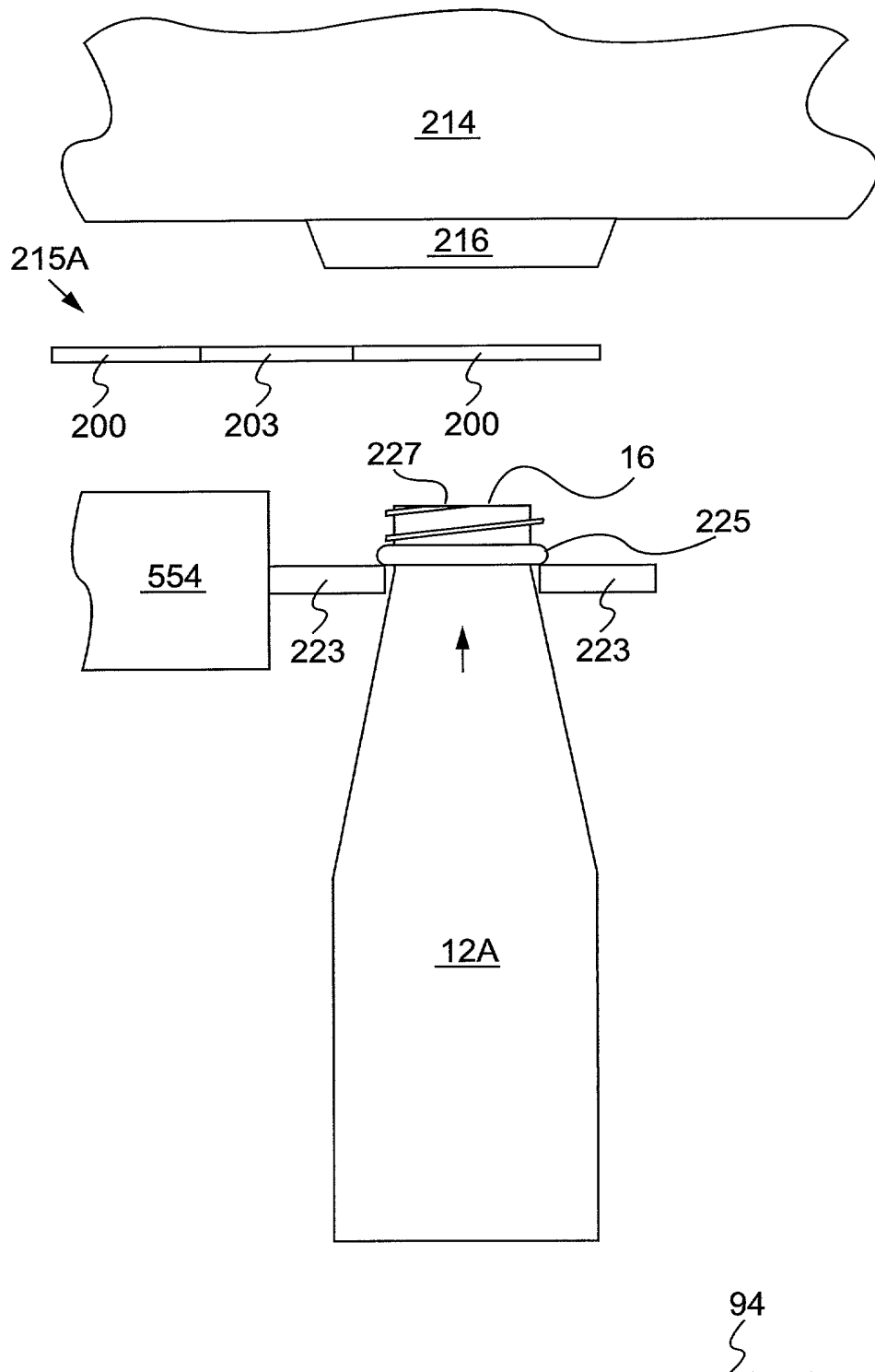
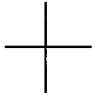


FIG. 20

FIG. 20 of 918/60





FIG. 21

FIG. 22

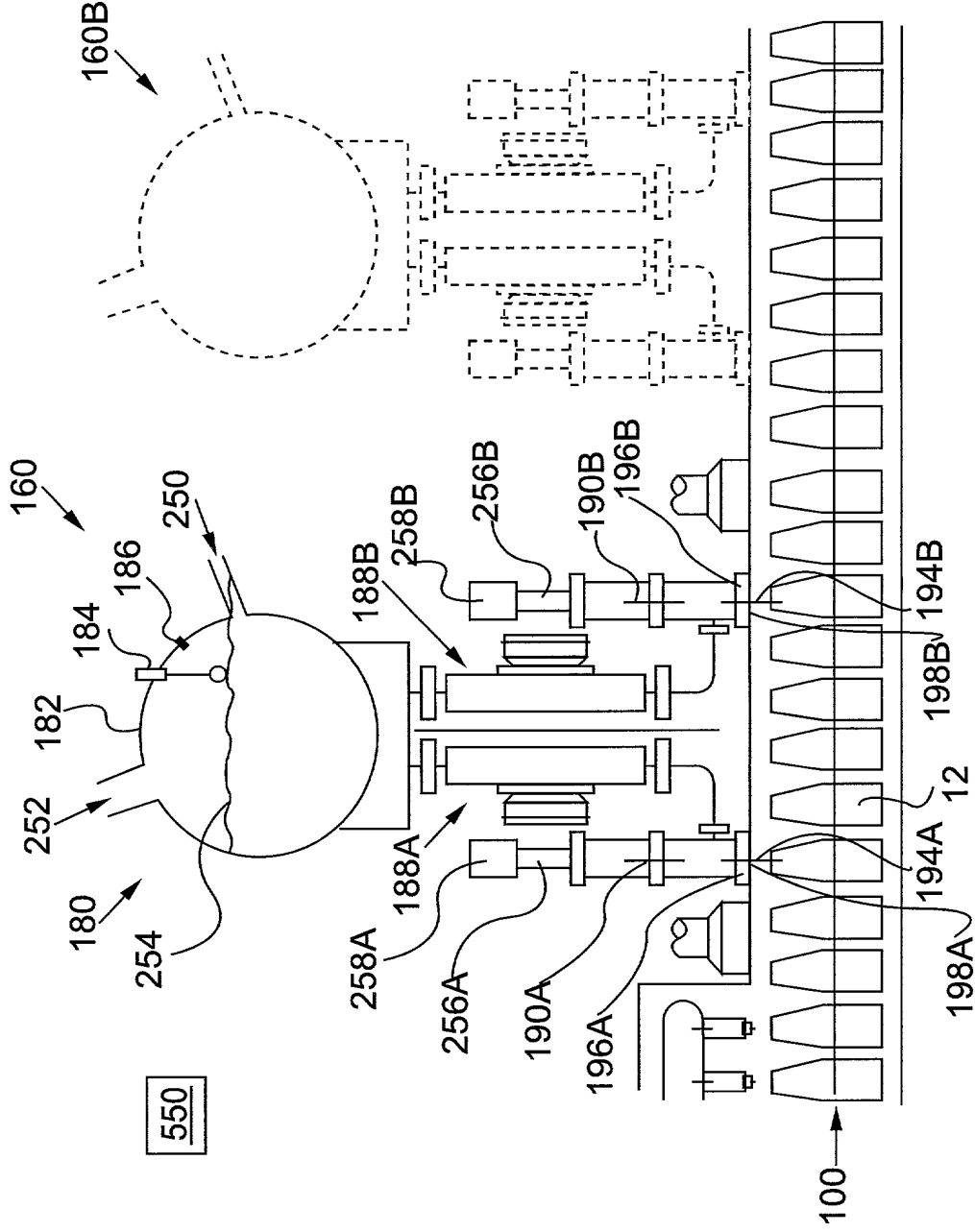


FIG. 24

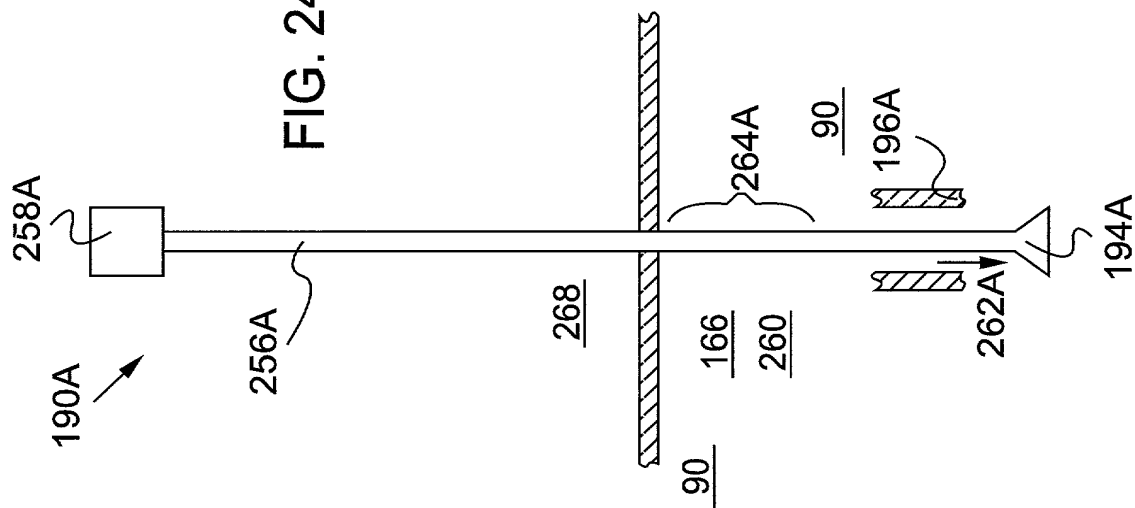
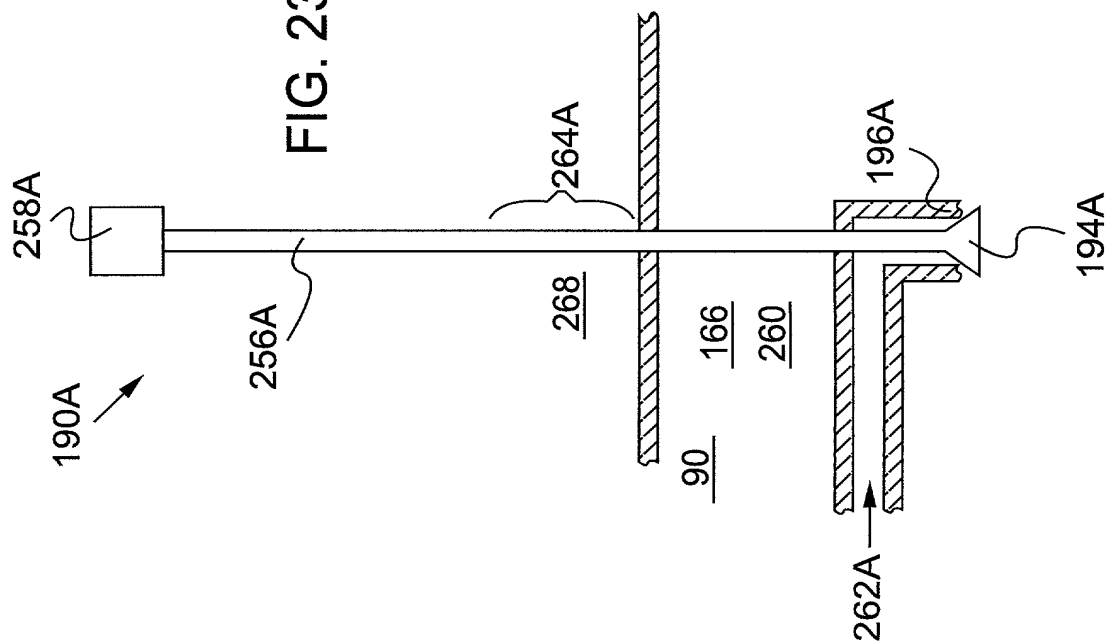


FIG. 23



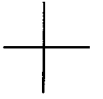


FIG. 26

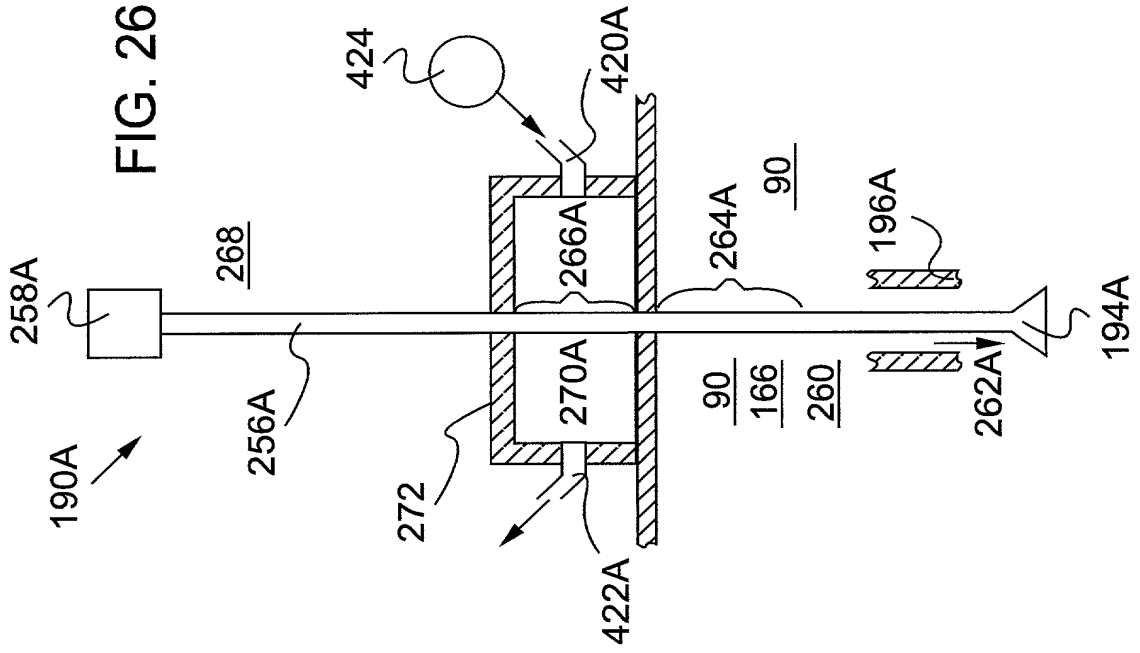
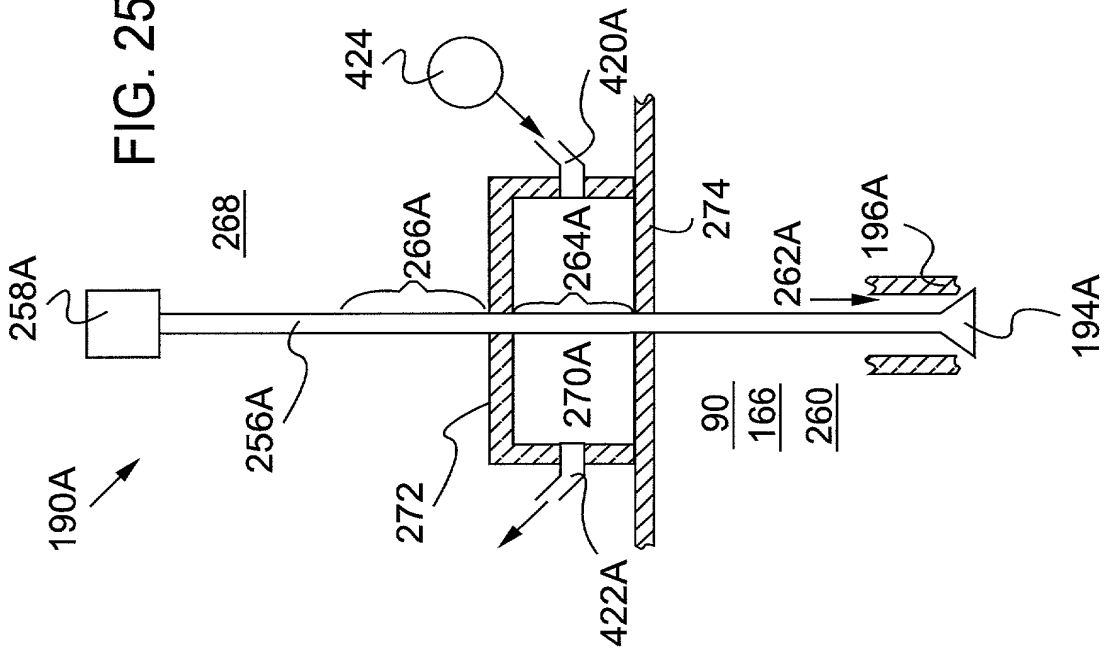


FIG. 25



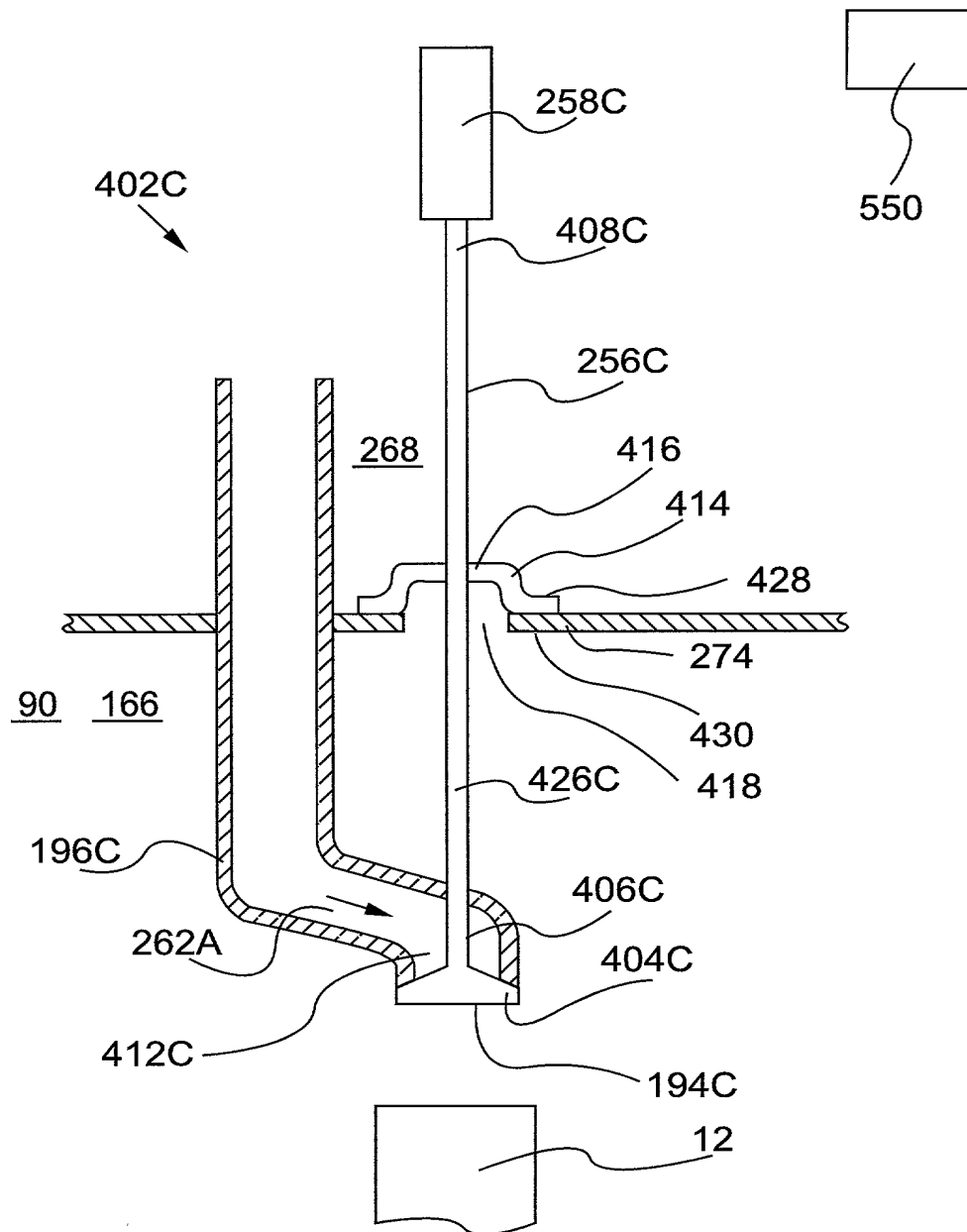


FIG. 27

PCT/JP2013/000000



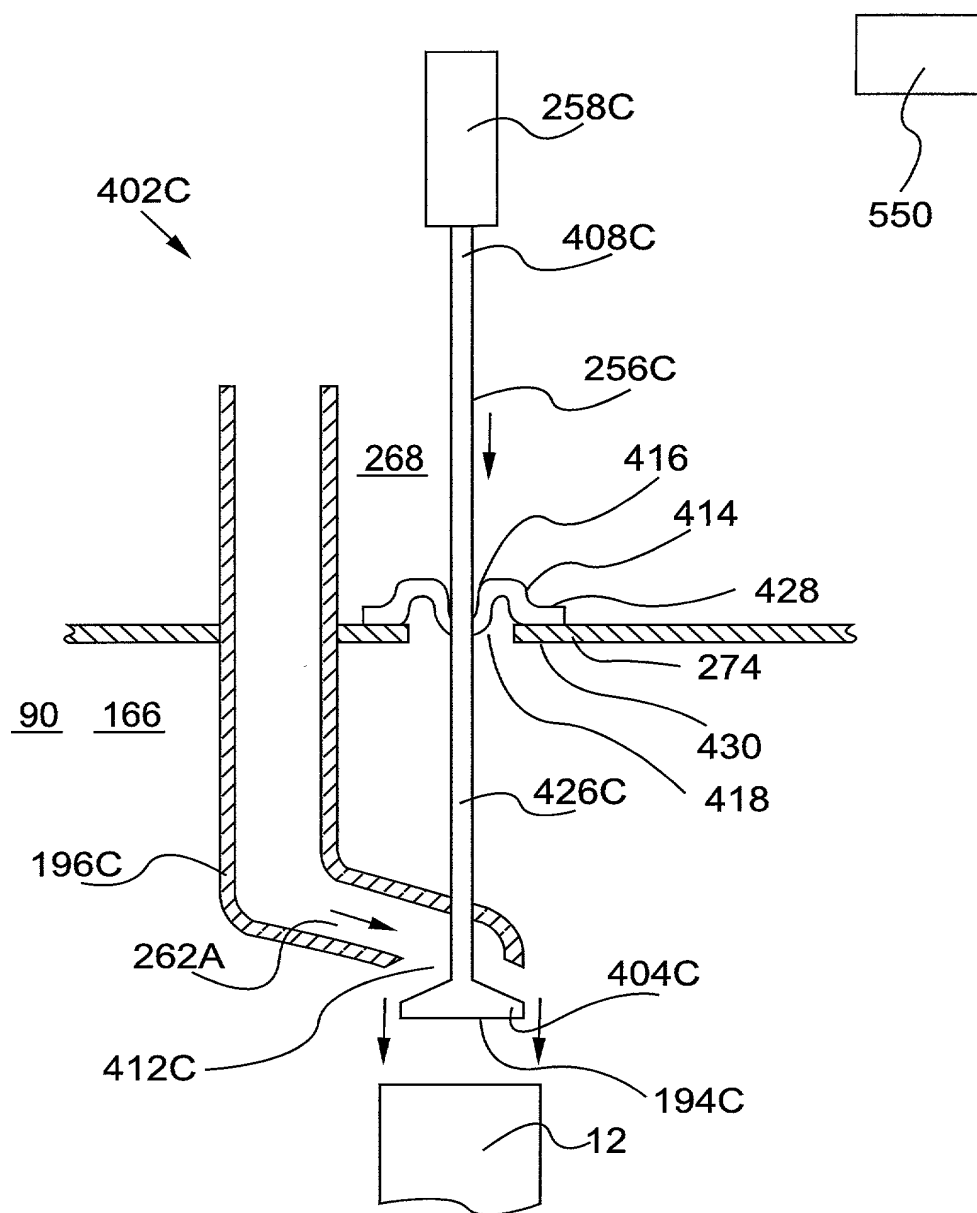


FIG. 28



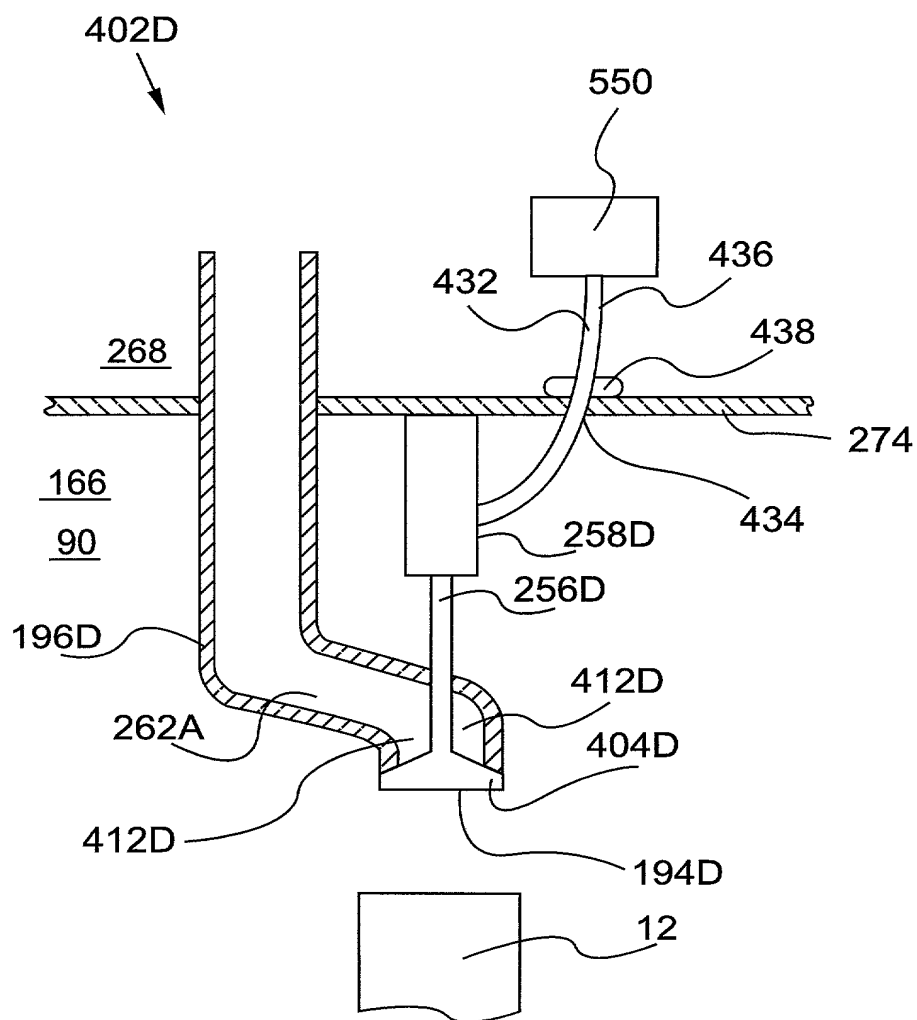


FIG. 29



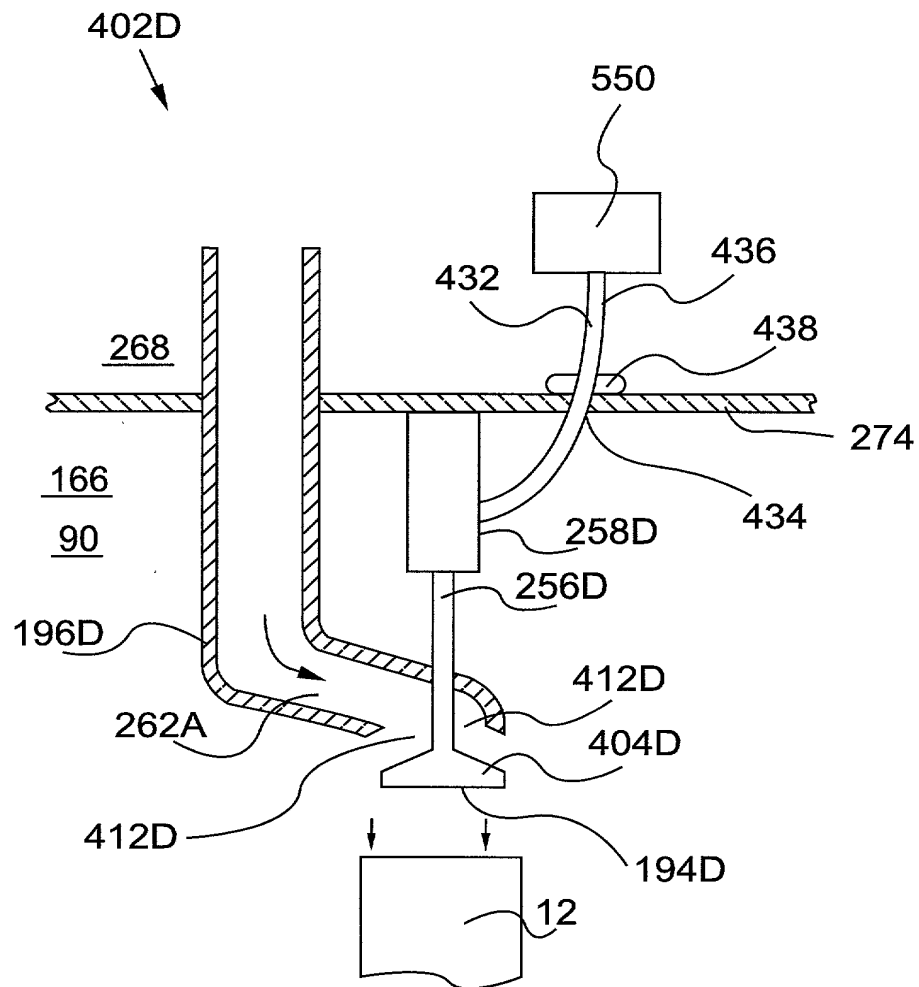


FIG. 30

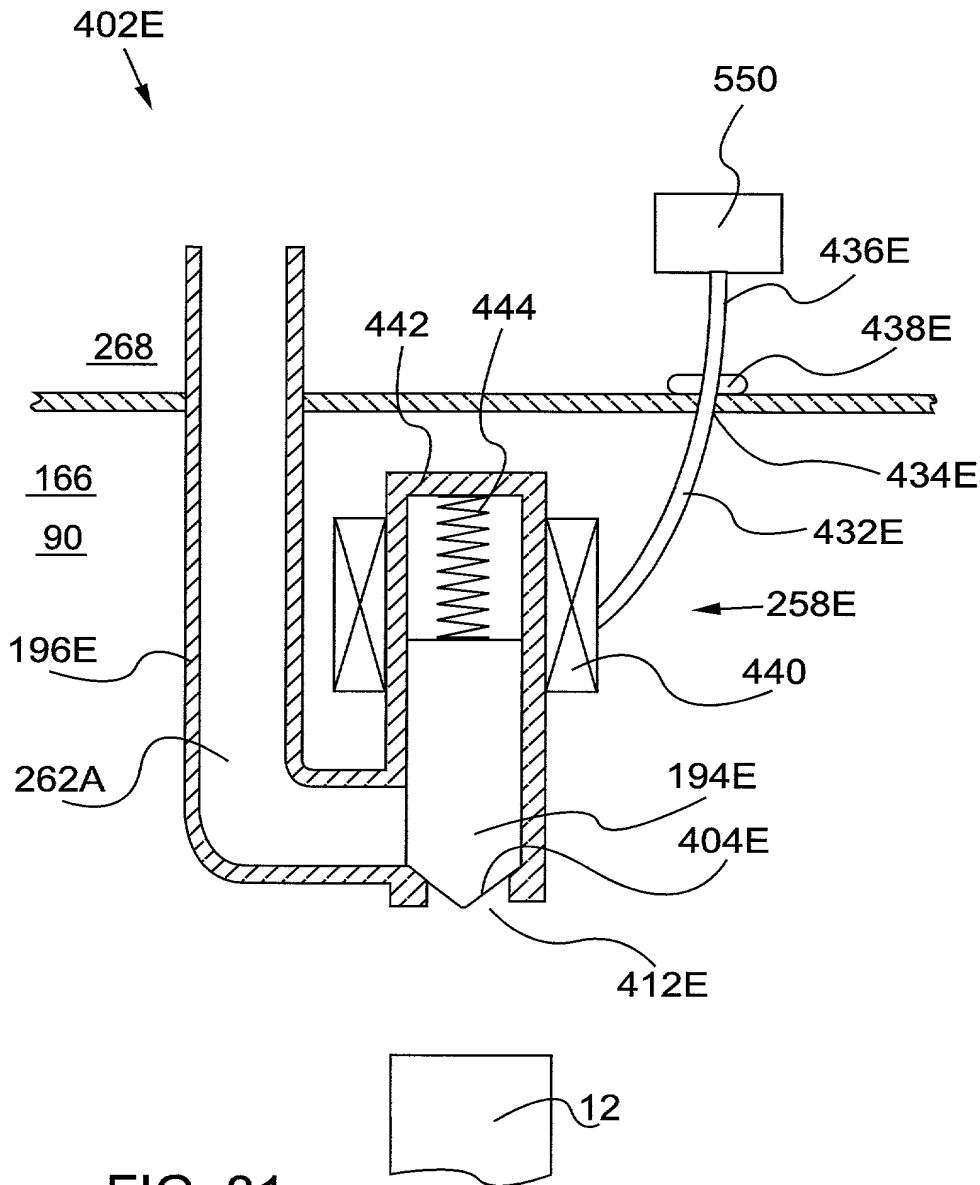


FIG. 31

FIG. 31



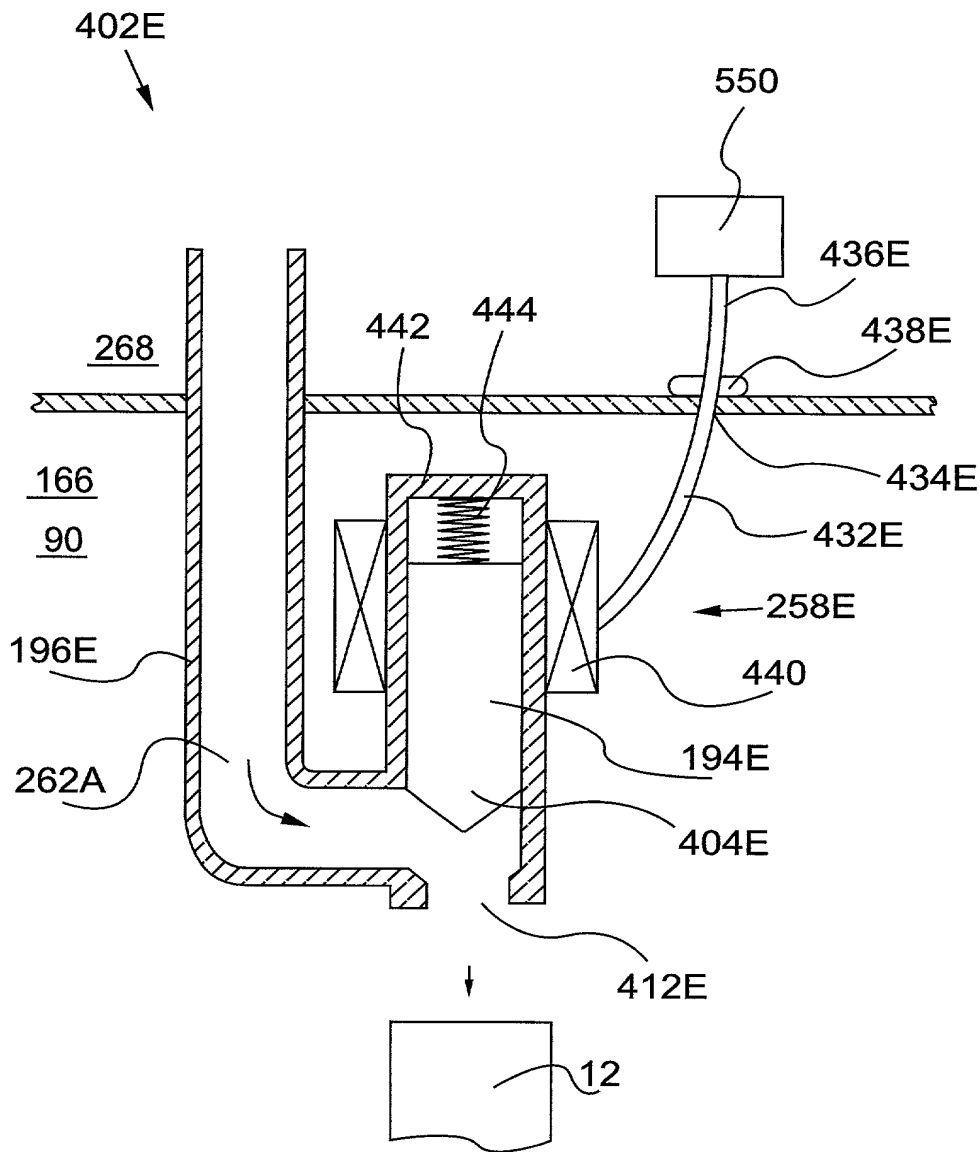


FIG. 32

FIG. 32



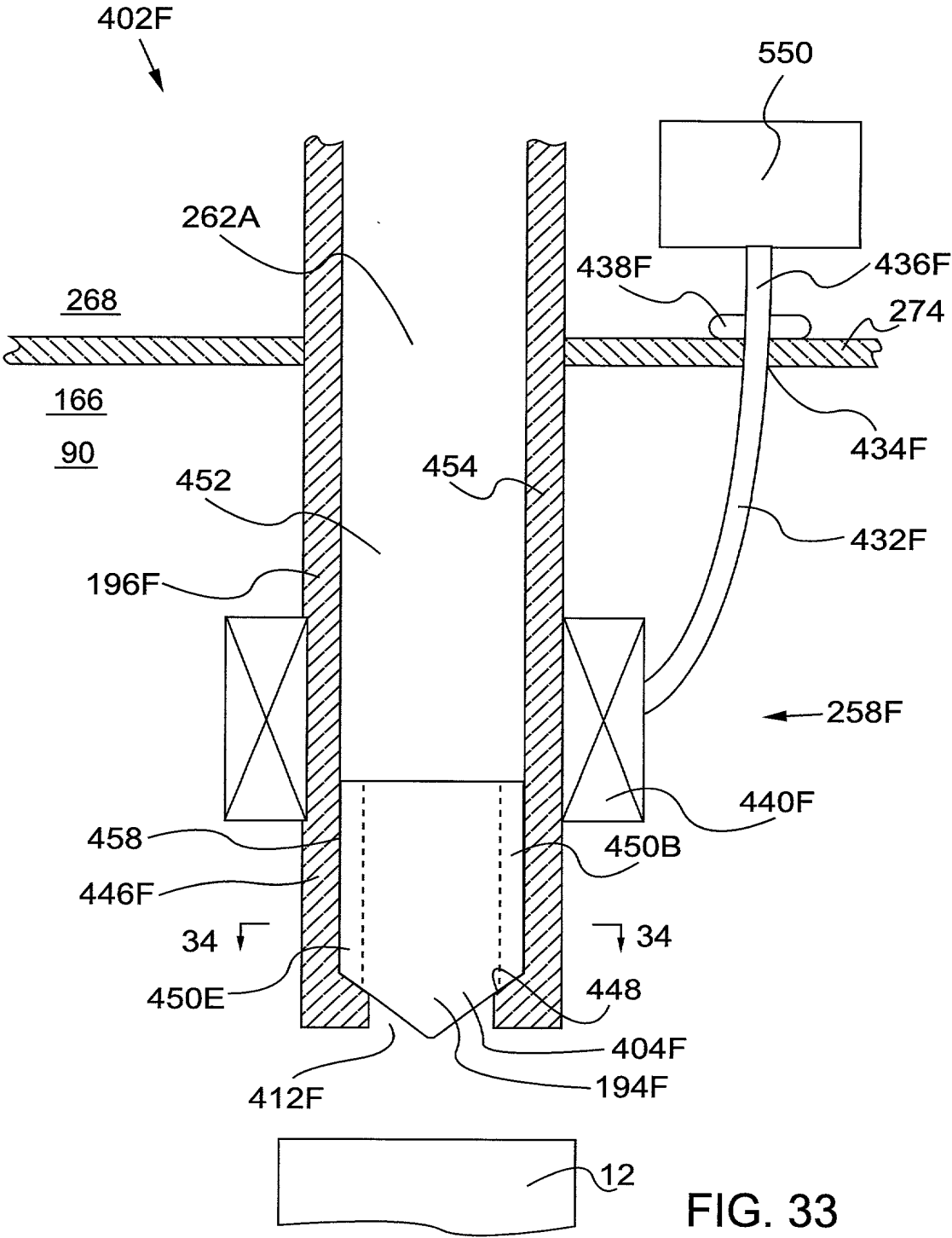


FIG. 33

037433.0001



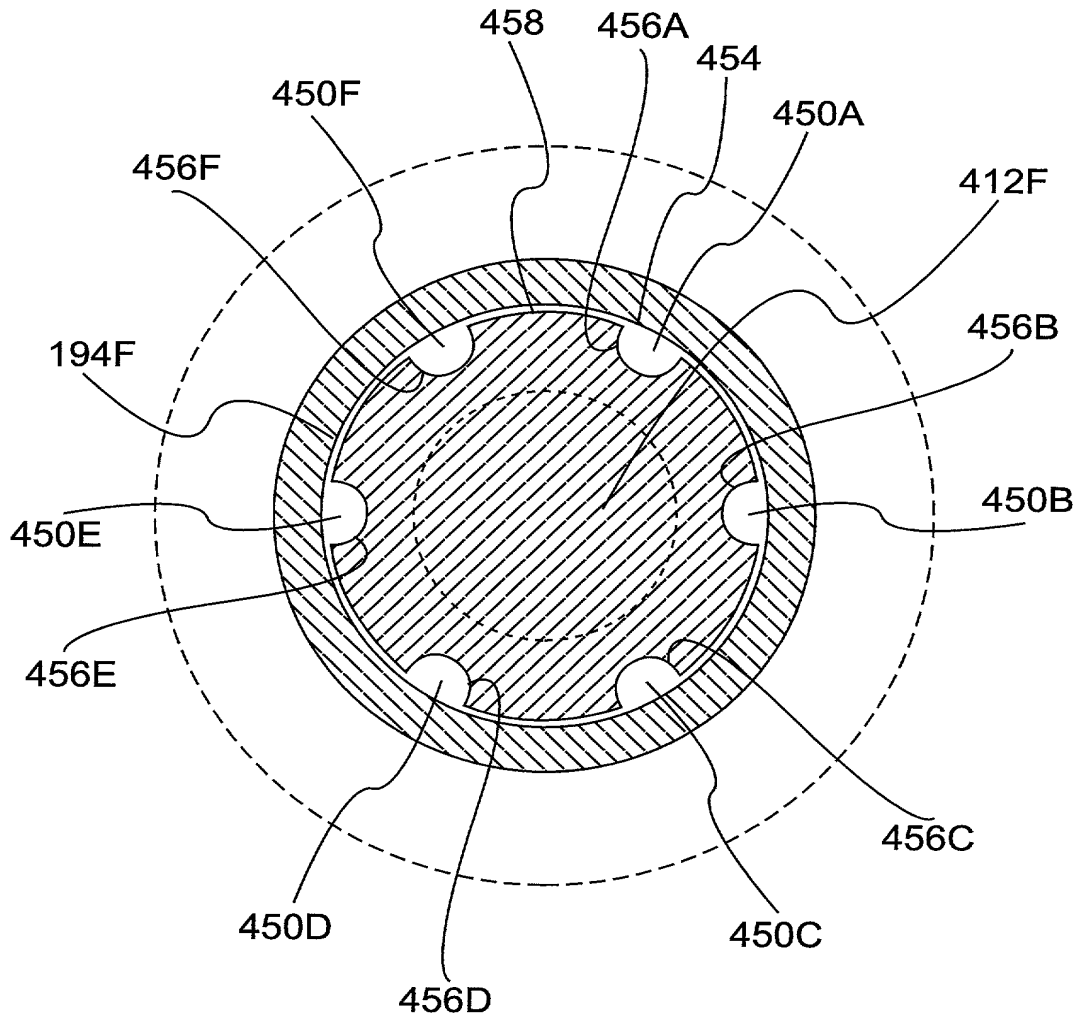


FIG. 34

FIG. 34



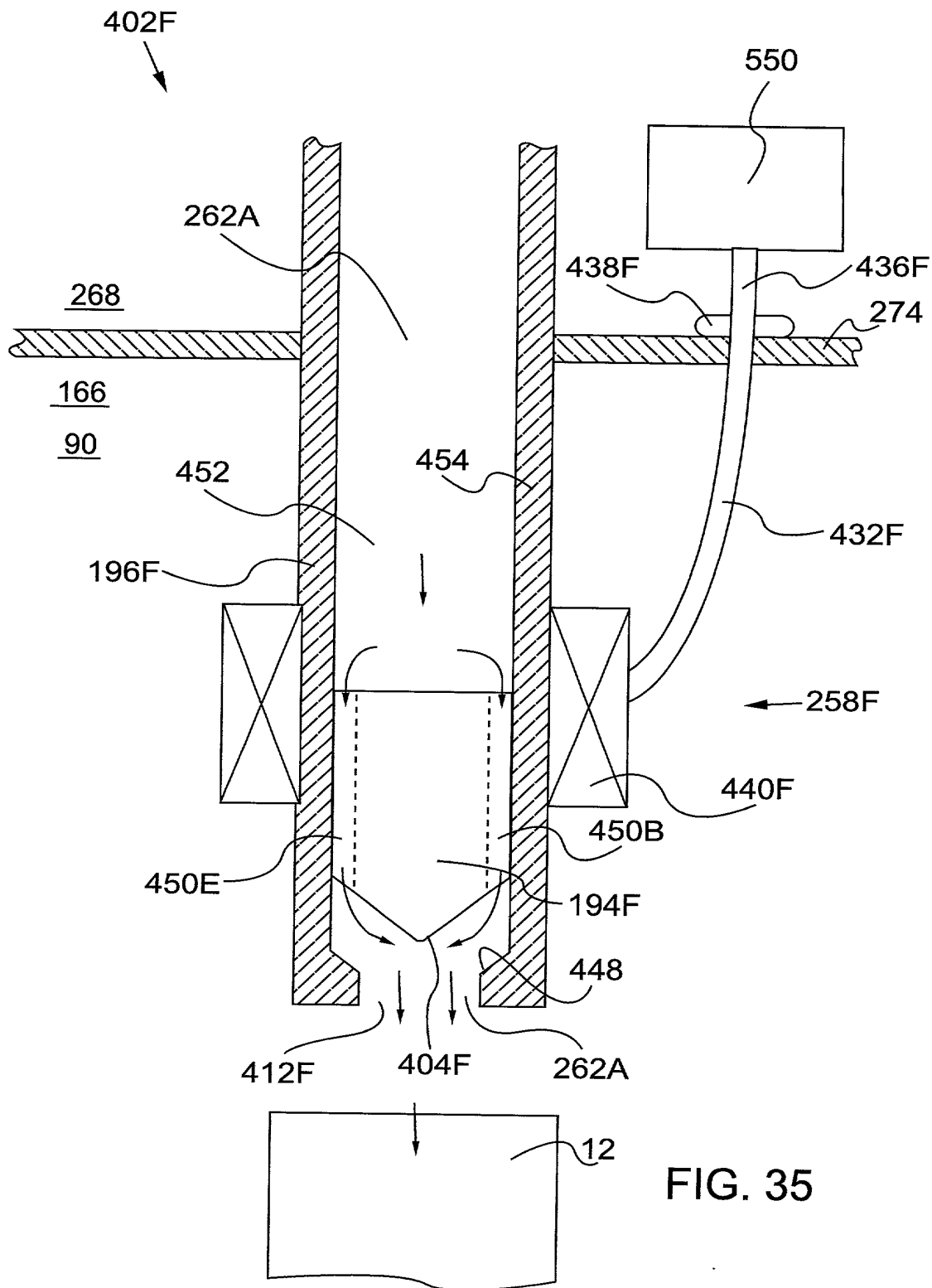


FIG. 35

